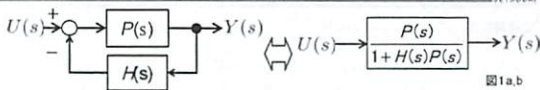




シラバス

- 本講では、まず周波数応答について説明し、ベクトル軌跡とボード線図による周波数特性の表現方法について述べる。続いて、フィードバック制御系の特性評価、ナイキストの安定判別法、さらにゲイン余裕と位相余裕について説明する。最後に、制御系の補償法について述べる。
- 到達目標:
 - 1) 周波数応答法の理解。
 - 2) フィードバック制御系の安定判別ができる。
 - 3) フィードバック補償により制御系の設計ができる

閉ループ系=フィードバック結合



一巡伝達関数 $L(s) = H(s)P(s)$ を用いてフィードバック結合の伝達関数

$$G(s) = \frac{P(s)}{1 + H(s)P(s)} = \frac{P(s)}{1 + L(s)} \quad (2.1)$$

が得られ、伝達関数は分母・分子の s の多項式で与えられる。伝達関数の特性は分母・分子が 0 となる極・零点で決定される。安定、不安定を決定するのは分母多項式を 0 とする特性方程式

$$1 + L(s) = 0 \quad (2.2)$$

の解 (= 根) であり、これが極である。

いま極を p_1, \dots, p_n 、零点 z_1, \dots, z_m をとすると以下のように表される。

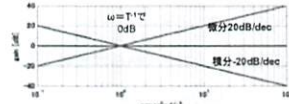
$$\frac{P(s)}{1 + L(s)} = \frac{b(s - z_1)(s - z_2) \dots (s - z_m)}{(s - p_1)(s - p_2) \dots (s - p_n)} \quad (2.3)$$

基本要素のボード線図

$$G(j\omega) = K$$

$$g = |G(j\omega)|_{dB} = 20 \log_{10} |K| \quad [dB]$$

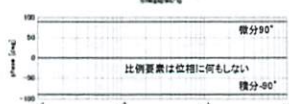
$$\varphi = \angle G(j\omega) = \tan^{-1} \frac{0}{K} = 0^\circ$$



$$G(j\omega) = \frac{1}{j\omega T}$$

$$g = |G(j\omega)|_{dB} = -20 \log_{10} \omega T \quad [dB]$$

$$\varphi = \angle G(j\omega) = -\tan^{-1} \frac{\omega T}{0} = -90^\circ$$



$$G(j\omega) = j\omega T$$

$$g = |G(j\omega)|_{dB} = 20 \log_{10} \omega T \quad [dB]$$

$$\varphi = \angle G(j\omega) = \tan^{-1} \frac{\omega T}{0} = 90^\circ$$



一般的な伝達関数の性質

- ゲインや位相の性質を用いて、一般的な伝達関数のボード線図も一次遅れ要素や二次遅れ要素といった典型的な伝達関数のボード線図をグラフ上で反転させたり、加え合わせたりすることによって容易に得ることができる。

性質(1): $H(s) = 1/G(s)$ のときに次の式が成り立つ

$$20 \log_{10} |H(j\omega)| = -20 \log_{10} |G(j\omega)|$$

$$\angle H(j\omega) = -\angle G(j\omega)$$

性質(2): $H(s) = G_1(s)G_2(s)$ のときに次の式が成り立つ

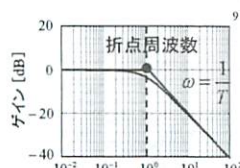
$$20 \log_{10} |H(j\omega)| = 20 \log_{10} |G_1(j\omega)| + 20 \log_{10} |G_2(j\omega)|$$

$$\angle H(j\omega) = \angle G_1(j\omega) + \angle G_2(j\omega)$$

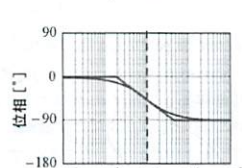
性質(1)は微分要素と積分要素の関係と同じく、ゲイン線図では 0 [dB] で上下を反転させ、位相線図では 0 [deg] で上下を反転させることによって得られる。性質(2)ではそれぞれ加算すればよい。

折れ線近似

(ゲイン) 0 dB と -20 dB/dec (位相) $\omega \leq \frac{0.2}{T}$ で 0°
 $\omega \geq \frac{5}{T}$ で -90°



(a) ゲイン線図



(b) 位相線図

1 次系のボード線図



- 1 線形システムの時間応答ラプラス変換、ステップ応答、インパルス応答
- 2 周波数応答(1) ゲイン、位相特性、ボード線図の読み方
- 3 周波数応答(2) ボード線図演習
- 4 周波数応答(3) ボード線図の合成、折れ線近似
- 5 周波数応答(4) PID制御とボード線図
- 6 周波数応答(5) ベクトル軌跡とボード線図
- 7 制御系の安定判別(1) ナイキストの簡易判別法
- 8 制御系の安定判別(2) 位相余裕とゲイン余裕
- 9 総合演習 前半のまとめと総合演習
- 10 演習答合わせ
- 11 フィードバック制御
- 12 フィードバック制御系の設計(2) ループ整形法
- 13 フィードバック制御系の設計例(1) 設計仕様を満たす設計
- 14 フィードバック制御系の設計例(2) 制御目的と設計要件
- 15 まとめ

ボード線図(Bode Diagram)



周波数応答について学んできたが、入力振幅を A 、角周波数を ω とした時の応答振幅を B とするとその振幅比(ゲイン)は

$$g = 20 \log_{10} \frac{B}{A} = 20 \log_{10} |G(j\omega)| \quad \text{デシベル [dB]}$$

と与えられる。また位相の遅れ・進みは

$$\varphi = \angle G(j\omega) = \tan^{-1} \frac{\text{Im}[G(j\omega)]}{\text{Re}[G(j\omega)]} \quad ^\circ [\text{deg}]$$

と表され、これらを対数表示した横軸に周波数 ω [rad/s, Hz] をとってプロットしたゲイン線図、位相線図を合わせてボード線図と呼ぶ。

$$\text{横軸の周波数 } \omega \quad \left\{ \begin{array}{l} |G(j\omega)| \\ \angle G(j\omega) \text{ の変化を} \end{array} \right.$$

基本要素のボード線図



$G(s)$	ゲイン曲線	位相曲線
K	$dB: 20 \log K $ 0	0°
s	$dB: 20 \text{ dB/dec}$ 0	90°
$\frac{1}{s}$	$dB: -20 \text{ dB/dec}$ 0	-90°
$Ts + 1$	$dB: 20 \text{ dB/dec}$ 0	90° $0.2/T \quad 5/T$
$\frac{1}{Ts + 1}$	$dB: -20 \text{ dB/dec}$ 0	-90° $0.2/T \quad 5/T$
$\frac{\omega_n}{s^2 + 2\zeta\omega_n s + \omega_n^2}$	$dB: -40 \text{ dB/dec}$ 0	-180°

一次遅れ要素と折れ線近似



一次遅れ要素の伝達関数は $G(j\omega) = \frac{1}{1 + j\omega T}$ となるから、

$$g = |G(j\omega)|_{dB} = -20 \log_{10} \sqrt{1 + (\omega T)^2}$$

$$\approx -20 \log_{10} 1 - 20 \log_{10} \omega T \quad [dB]$$

$$\varphi = \angle G(j\omega) = -\tan^{-1} \frac{\omega T}{1} = -\tan^{-1} \omega T$$

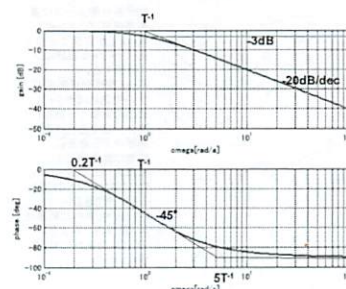
$$\approx 0 - 64.3 \log_{10} \omega T \quad [^\circ]$$

ゲイン特性は $\omega \leq T^{-1}$ において 0 [dB]、 $\omega \geq T^{-1}$ において 10 dB [dec] で -20 dB、すなわち $\omega = T^{-1}$ を折れ点周波数としてそれ以下のゲイン特性は 0 dB、それ以上は -20 dB/dec の右下がり直線で近似できる。このとき $\omega = T^{-1}$ での誤差は $g = -3$ [dB] である。

また位相は $\omega = T^{-1}$ で $\varphi = -45^\circ$ であり、この傾斜を直線近似して傾き $\varphi = -64.3 \log_{10} \omega T$ となる。

$\varphi = 0^\circ$ で $\omega = 0.2 T^{-1}$ 、 $\varphi = -90^\circ$ で $\omega = 5 T^{-1}$ が折れ点周波数。

一次遅れ要素のボード線図



折れ線近似の描き方

- ① ゲイン線図の折れ点 $(T^{-1}, 0)$ にマークし、位相線図の $(T^{-1}, -45)$ にマークする。
- ② $(0, 0)$ 折れ点 $(T^{-1}, 0)$ をむすび、 $(T^{-1}, 0)$ と $(10T^{-1}, -20)$ 、 $(100T^{-1}, -40)$ の組を、ゲイン線図が描ける。
- ③ 位相線図に折れ点 $(0.2T^{-1}, 0)$ 、 $(5T^{-1}, -90)$ を追加して傾斜角を結ぶ。0.2 T^{-1} より低周波は 0、5 T^{-1} より大きい周波数は -90 の一定値をとる。
- ④ 折れ点の周波数を書いて出末上がり。

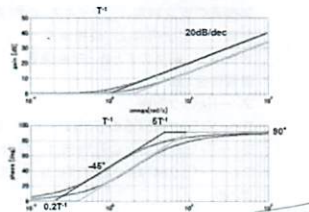
一次進み要素のボード線図

一次遅れ要素の伝達関数は $G(j\omega) = 1/\omega T$ となるから、

$$g = |G(j\omega)| = 20 \log \sqrt{1 + (\omega T)^2} \approx 20 \log 1 + 20 \log \omega T \quad [dB]$$

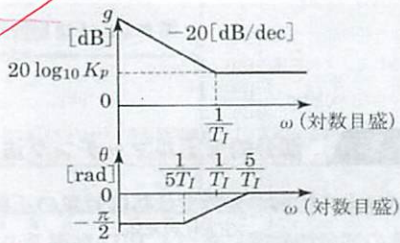
$$\varphi = \angle G(j\omega) = \tan^{-1} \frac{\omega T}{1} = \tan^{-1} \omega T \approx 0 \quad [^\circ]$$

$\omega = T^{-1}$ を折れ点周波数として位相遅れの逆特性



PI制御装置のボード線図

- 高周波領域では変化が少ないが、低周波領域でゲイン特性を大きくしている。
- 積分要素により、ステップ入力に対する定常偏差を0にすることができる。
- 位相遅れが安定性を損なう恐れもある。



ベクトル軌跡

周波数ごとに周波数応答のゲイン・位相を求め、それらをつなげることで制御対象の分析が可能となる。

周波数伝達関数 $G(j\omega)$ は複素関数であり、ある任意の ω [rad/s] に対して複素平面上の一つのベクトルを表すこととなる。

$$G(j\omega) = \text{Re}\{G(j\omega)\} + j\text{Im}\{G(j\omega)\} \quad (\text{直交座標表示})$$

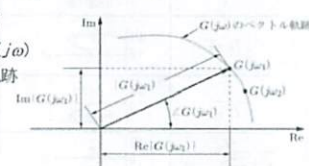
$$= |G(j\omega)| \exp\{j\angle G(j\omega)\} \quad (\text{極座標表示})$$

ω [rad/s] を0から ∞ まで変化

させたときの複素ベクトル $G(j\omega)$

の先端が複素平面上に描く軌跡

をベクトル軌跡という。



1次遅れ要素

周波数伝達関数は

$$G(j\omega) = \frac{1}{1 + j\omega T} = \frac{1}{1 + (\omega T)^2} - j \frac{\omega T}{1 + (\omega T)^2}$$

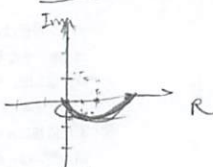
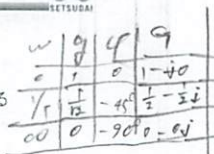
となる。ベクトル軌跡は複素平面上の点 (1, 0) から0に至る半径1/2の円を描く。

$$|G(j\omega)| = \frac{1}{\sqrt{1 + (\omega T)^2}} = \frac{1}{\sqrt{1 + (\omega T)^2}}$$

$$\angle G(j\omega) = \angle 1 - \angle (1 + j\omega T)$$

$$= \tan^{-1} \frac{0}{1} - \tan^{-1} \frac{\omega T}{1}$$

$$= -\tan^{-1} \omega T$$



ボード線図との特徴比較

システムの種類	ω → ∞ (asymptote)	ボード線図の形状	ベクトル軌跡の形状
1次遅れ系 (要素) $\frac{1}{T \cdot s + 1}$ 分子: 1次, 分母: 1次	大きき → 0 ゲイン → -20 dB/dec 位相 → -90°		
2次遅れ系 (要素) $\frac{1}{(T \cdot s + 1)^2}$ 分子: 0次, 分母: 2次	大きき → 0 ゲイン → -40 dB/dec 位相 → -180°		
1次遅れ系 + 積分要素 $\frac{1}{T \cdot s (T \cdot s + 1)}$ 分子: 0次, 分母: 2次	大きき → 0 ゲイン → -20 dB/dec 位相 → -90°		
2次遅れ系 + 積分要素 $\frac{1}{s^2 (T \cdot s + 1)}$ 分子: 0次, 分母: 3次	大きき → 0 ゲイン → -40 dB/dec 位相 → -270°		

制御系の開ループは高周波領域で小さな値を取ることで安定に必須であり、ベクトル軌跡は0に近接する。ボード線図が低周波でフラットであればベクトル軌跡は実軸から始まる。積分特性があれば虚軸無限小から始まる。終端は位相によって収束方向が決定される。同じことはゲイン線図からも判断できる。-40dB/decであれば軌跡は第3象限内に収まる。-60dB/decであれば第2象限に収まる。

PI制御器のボード線図

- 比例ゲインに積分要素を加えた制御器を考える
- PI制御器は偏差の過去データから制御を考える手法

$$\text{伝達関数は } G(s) = K_p \left(1 + \frac{1}{T_i s} \right) = K_p \frac{T_i s + 1}{T_i s} = K_p \frac{T_i \omega + 1}{T_i j \omega}$$

$$20 \log_{10} |G(j\omega)| = 20 \log_{10} K_p - 20 \log_{10} \omega T_i + 20 \log_{10} \sqrt{1 + (\omega T_i)^2}$$

$$\angle G(j\omega) = -\tan^{-1} \omega + \tan^{-1} \omega T_i = -\pi/4 + \tan^{-1} \omega T_i$$

折れ線近似で考えると、

ゲイン特性は積分によって -20dB/dec で減少して T_i^{-1} から

$20 \log_{10} K_p$ で一定となる。

位相特性は $\omega \ll T_i^{-1}$ では -90° であり $\omega = T_i^{-1}$ で 0° に戻る。

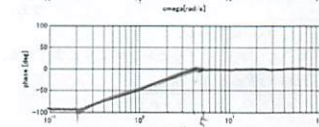
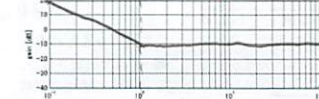
PI制御器のボード線図

$$\text{伝達関数は } G(s) = K_p \left(1 + \frac{1}{T_i s} \right) = 0.316 \frac{1 + j\omega T_i}{j\omega} \quad K_p = 0.316, T_i = 1 \text{ として}$$

$$20 \log_{10} |G(j\omega)| = 20 \log_{10} K_p - 20 \log_{10} \omega T_i + 20 \log_{10} \sqrt{1 + (\omega T_i)^2}$$

$$\approx -10 - 20 \log_{10} \omega + 20 \log_{10} 1 + 20 \log_{10} \left(\frac{1}{\omega} \sqrt{1 + (\omega T_i)^2} \right) \quad [dB]$$

$$\angle G(j\omega) = -\tan^{-1} \omega + \tan^{-1} \omega T_i = -\pi/2 + \tan^{-1} \omega T_i \quad (\approx -90^\circ + 64.3 \log_{10} \omega + 0) \quad [^\circ]$$



積分要素

周波数伝達関数は

$$G(j\omega) = \frac{1}{j\omega} = -j \frac{1}{\omega}$$

となる。ベクトル軌跡は虚軸上を -∞ から 0 に至る半直線。

$$|G(j\omega)| = \frac{1}{|\omega|} = \frac{1}{\omega}$$

$$\angle G(j\omega) = \angle 1 - \angle j\omega$$

$$= \tan^{-1} \frac{0}{1} - \tan^{-1} \frac{\omega}{0} = 0^\circ - 90^\circ$$

PI制御器のベクトル軌跡

周波数伝達関数は

$$G(j\omega) = K \left(1 + \frac{1}{j\omega T_i} \right) = K - j \frac{K}{\omega T_i}$$

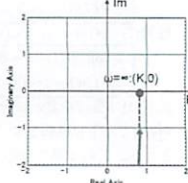
$$|G(j\omega)| = K \sqrt{1 + \frac{1}{(\omega T_i)^2}}$$

$$\angle G(j\omega) = \angle \left(K - j \frac{K}{\omega T_i} \right) = -\tan^{-1} \frac{1}{\omega T_i}$$

となる。ω = 0 のとき虚数部が $G(j\omega) = -\infty$ 、ω = ∞ では $G(j\omega) = K$ だからベクトル軌跡は複素平面上の第4象限の実軸上のKを通る直線を -∞ からKに至る。積分の軌跡の終点をKずらしたものだ。

ω	$G(j\omega)$	$ G(j\omega) $	$\angle G(j\omega)$
0	$K - j\infty$	∞	-90°
1/Ti	$K - jK$	$K\sqrt{2}$	-45°
∞	$K - j0$	K	0°

$$G(j\omega) = |G(j\omega)| e^{j\angle G(j\omega)}$$



ナイキスト線図 (開ループ伝達関数のベクトル軌跡)

開ループ伝達関数 $P(j\omega)G(j\omega)$ は複素関数であり、ある任意の ω [rad/s] に対して複素平面 ($P(j\omega)G(j\omega)$ 平面と呼ぶこともある) 上の一つのベクトルを表す。

$$L(j\omega) = P(j\omega)G(j\omega) = \text{Re}\{L(j\omega)\} + j\text{Im}\{L(j\omega)\} \quad (\text{直交座標表示})$$

$$= |L(j\omega)| \exp\{j\angle L(j\omega)\} \quad (\text{極座標表示})$$

ω [rad/s] を0から ∞ まで変化させた

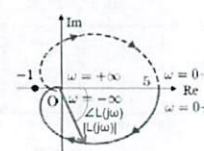
ときの複素ベクトル $L(j\omega)$ の先端が

複素平面上に描くのがベクトル軌

跡であつたが、さらに実数軸に対し

して上下対象に描いたものをナイ

キスト線図という。



ナイキストの安定判別法

[ステップ1]

開ループ伝達関数のベクトル軌跡 $P(j\omega)C(j\omega)$ を、周波数 $\omega=0 \sim \infty$ の範囲で描く。さらにこれを実軸に関して上下対称に描き、ナイキスト軌跡 L を得る。

[ステップ2]

ナイキスト軌跡 L が点 $(-1, 0)$ のまわりを時計方向にまわる回数を調べ、これを N とする。(反時計方向に1回の場合 $N=-1$)

[ステップ3]

開ループ伝達関数 $P(s)C(s)$ の極の中で実部が正であるものの個数を調べ、これを P とする。

[ステップ4]

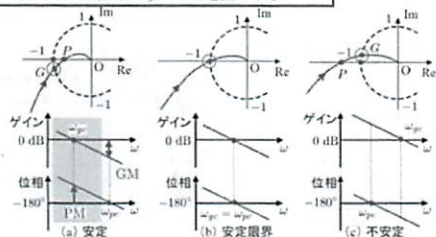
閉ループ系の不安定な極の数は $Z=N+P$ となる。したがって、 $Z=0$ ならばフィードバック制御系は安定。
 $Z \neq 0$ ならば系は不安定である。

不安定極

ボード線図と対比1

- ボード線図での読み取り (a) 位相が -180° より進む \Rightarrow 安定
(b) 位相が -180° ちょうど \Rightarrow 安定限界
(c) 位相が -180° より遅れる \Rightarrow 不安定

ゲイン交差周波数 ω_{gc} で PM を読み取る。



開ループ伝達関数のボード線図

さらに測定装置の伝達関数を $H(s) = 0.2$ としたときの
一巡(開ループ)伝達関数 $L(s)$ は

$$L(s) = C(s)P(s)H(s) = \frac{0.2(3s+1)}{s(0.1s+1)} = \frac{0.2(3j\omega+1)}{j\omega(0.1j\omega+1)}$$

となり、ループのゲイン特性と位相特性は次のようになる。

$$20\log|L(j\omega)| = 20\log|C(j\omega)| + 20\log|P(j\omega)| + 20\log|H(j\omega)|$$

$$= -20\log\omega + 20\log|9\omega^2 + 1| - 20\log\sqrt{(0.1\omega)^2 + 1} - 14 \text{ [dB]}$$

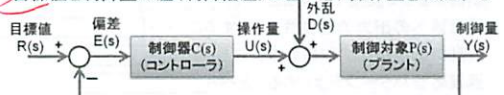
$$\angle L(j\omega) = -\pi/4 + \tan^{-1}3\omega - \tan^{-1}0.1\omega \text{ [rad]}$$

これをボード線図で示してみよう。

■ 演習: 折れ線近似で各要素を示し、合成して開ループ特性を求めよ

フィードバック制御の構成

- 目標値と制御量の差(制御偏差)に基づき、操作量を決定する



(フィードバック制御)

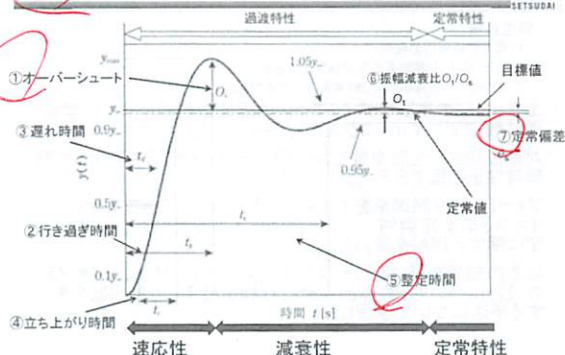
- この制御系の伝達関数は、

$$G_{ur}(s) = \frac{C(s)}{1 + P(s)C(s)} \quad G_{ud}(s) = -\frac{P(s)C(s)}{1 + P(s)C(s)}$$

$$G_{yr}(s) = \frac{P(s)C(s)}{1 + P(s)C(s)} \quad G_{yd}(s) = \frac{P(s)}{1 + P(s)C(s)}$$

いずれも $C(s)$ を含んでいるので、制御対象 $P(s)$ が不安定であっても、制御器 $C(s)$ によって安定化できる。分母が同じに注目

時間応答の指標



ナイキスト線図で見たゲイン余裕と位相余裕

■ ベクトル軌跡が点 $(-1, 0)$ から離れていれば安定であり、不安定になるまでの余裕を安定余裕という

ベクトル軌跡が点 $(-1, 0)$ からある程度離れていなければ、安定余裕がある。

ゲイン余裕 GM

あとどれだけゲインを増やすと制御系が不安定になるか。

$$GM = \frac{1}{|OP|} \text{ (dB)}$$

$$= 0 \text{ dB} - 20\log_{10}|L(j\omega_{gc})|$$

位相余裕 PM

あとどれだけ位相が遅れると制御系が不安定になるか。

$$PM = \angle GOP \text{ (}^\circ\text{)}$$

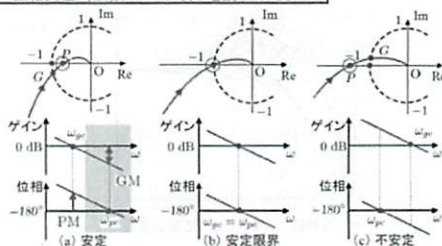
図 ゲイン余裕、位相余裕

ボード線図と対比2

$$G = 20\log_{10}|L(j\omega_{gc})|$$

- (a) ゲインが 0 dB より低い \Rightarrow 安定
(b) ゲインが 0 dB ちょうど \Rightarrow 安定限界
(c) ゲインが 0 dB より高い \Rightarrow 不安定

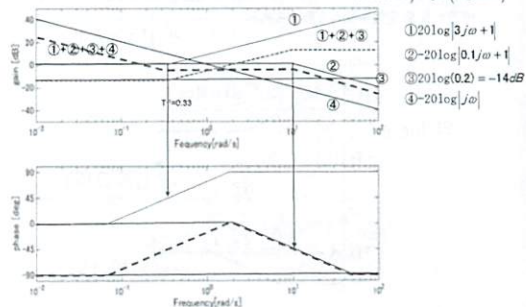
位相交差周波数 ω_{pc} で GM を読み取る。



演習) 開ループ伝達関数のボード線図

■ 開ループ伝達関数

$$L(s) = C(s)P(s)H(s) = \frac{0.2(3s+1)}{s(0.1s+1)} = \frac{0.2(3j\omega+1)}{j\omega(0.1j\omega+1)}$$



開ループ伝達関数と安定性

式 8.2 の $K=1, \omega_n=10, \zeta=0.5$ として

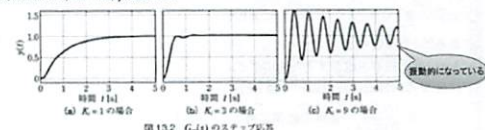


図 13.2 $G_c(s)$ のステップ応答

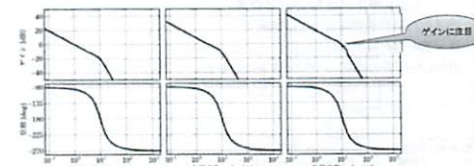


図 13.3 開ループ伝達関数 $L(s) = P(s)C(s)$ のボード線図

ステップ入力に対する定常偏差

フィードバック系の一巡伝達関数を

$$L(s) = \frac{K}{1+Ts}$$

の1次遅れとすると

フィードバック系の定常偏差は

$$e_s = \lim_{t \rightarrow \infty} \{r(t) - y(t)\} = \lim_{s \rightarrow 0} s \{r(s) - y(s)\}$$

$$= \lim_{s \rightarrow 0} s \left\{ r(s) - \frac{L(s)}{1+L(s)} r(s) \right\} = \lim_{s \rightarrow 0} s \left\{ \frac{1}{1+L(s)} \right\} r(s)$$

今、単位ステップが目標値とすると定常位置偏差は

$$e_p = \lim_{s \rightarrow 0} s \left\{ \frac{1}{1+L(s)} \right\} \frac{1}{s} = \frac{1}{1+L(0)}$$

最終値の定理

$L(0) = K$ であり、ゲイン K を十分大きくすれば定常位置偏差はゼロに近づく。またこの時の K を位置偏差定数 K_p という。

開ループ伝達関数の理想

制御系の設計はセンサやアクチュエータに依存するのは明らかであるが、基本的に制御器の設計にある。制御器の特性はその開ループ伝達関数によって表され、この周波数特性を望ましいものすることによって設計が実現される。

では望ましい周波数特性とは

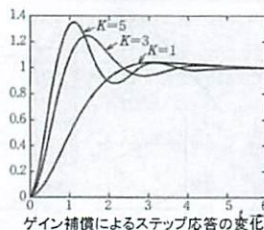
■ 低い周波数領域 (= 外乱や目標値の変化が想定される領域) ではできるだけ \square を大きくする

■ 高い周波数領域 (= 雑音やモデル誤差が存在する領域) ではできるだけ \square を小さくする = \square を高める

■ ゲインが0dBになる \square を大きくしながら、ハンチングをおこす条件を回避できるように制御器の \square を大きくする = \square や \square を高める

ゲイン補償

- ゲインを上げると応答性が良くなるが、減衰性が悪くなる。逆に、ゲインを下げると減衰性は良くなるが、応答性が悪くなる。
- ゲインを下げることで、システムの安定度を高めることができる。

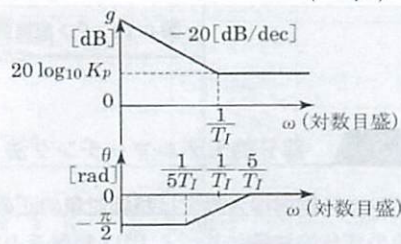


$$G_c(s) = K$$

PI補償

- 高周波領域では変化が少ないが、低周波領域でゲイン特性を大きくしている。
- 積分要素により、ステップ入力に対する定常偏差を0にすることができる。
- 位相遅れが安定性を損なう恐れもある。

$$C(s) = K_p \left(1 + \frac{1}{T_i s} \right)$$



ループ整形演習2

制御対象 $P(s) = \frac{10}{s^2 + 6s + 10}$ に対してあるゲイン補償 $C(s) = K$ を行いさらに振動性を改善するためにゲイン交差周波数付近に位相進み補償を行い

$$C(s) = K \frac{0.3s+1}{0.03s+1}$$

破線の結果を得た。それでも定常偏差が残るために、交差周波数付近に影響を与えない範囲で積分器を含む補償を行った。

追加した補償の種類、パラメータを推定せよ。

$$C2(s) = C(s) \frac{1}{s}$$

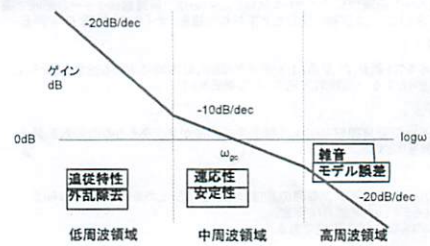
位相進み補償 $W_{gc} = 24.2 \text{ rad/s}$ $P_m = 60.4^\circ$
PI補償 $W_{gc} = 24.2 \text{ rad/s}$ $P_m = 58.0^\circ$

14.1-5 設計要件のまとめ

- ① 安定性
開ループ $L(j\omega) = P(j\omega)C(j\omega)$ から位相余裕、ゲイン余裕を評価
- ② 目標追従特性
 $E(s) = S(s)R(s) = \frac{1}{1+P(s)C(s)}R(s)$ から感度関数を小さくすればよい。
- ③ 外乱除去
 $Y(s) = S(s)P(s)D(s) = \frac{P(s)}{1+P(s)C(s)}D(s)$ から感度関数を小さくすればよい。
- ④ 過渡応答特性
 $Y(s) = T(s)R(s)$ から相補感度関数を希望する特性に近づける。
- ⑤ ロバスト性
 $\delta(j\omega)$ を含む開ループを $|\delta(j\omega)T(j\omega)| < 1$ とする。そのためには相補感度関数 $|T(j\omega)|$ を小さく = 開ループ $|P(j\omega)C(j\omega)|$ を小さく。

望ましい周波数特性

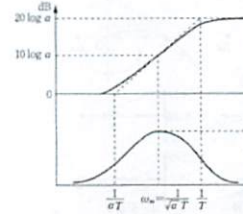
開ループ伝達関数



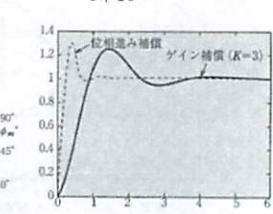
位相進み補償

- 位相を ω_m 周辺で進ませる。高周波領域でゲインを増大させる。
- 位相を進ませることで位相余裕を改善し、減衰性を確保しつつ、応答性を改善することができる。

$$C(s) = \frac{K(1 + \alpha Ts)}{1 + Ts}, \quad \alpha > 1$$



位相進み補償のボード線図



ステップ応答の比較

ループ整形演習1

制御対象 $P(s) = \frac{10}{s^2 + 6s + 10}$ に対してあるゲイン補償 $C(s) = K$ を行い緑線の結果を得た。

さらに振動性を改善するためにゲイン交差周波数付近にある補償を行った。最初のゲイン補償と次の補償の種類、パラメータを推定せよ。

$$C(s) = \frac{10}{(0.03s+1)} \frac{0.3s+1}{s+1}$$

ゲイン補償 $W_{gc} = 9.58 \text{ rad/s}$ $P_m = 35.1^\circ$
位相進み補償 $W_{gc} = 24.2 \text{ rad/s}$ $P_m = 60.4^\circ$

制御目的と設計 ～考慮すべき5項目～

- ① 制御系として安定であること...
- ② 目標値への出力の追従性をよくすること...
- ③ 外乱の影響が出力に現れないこと...
- ④ 過渡応答パターンをよくすること...
- ⑤ プラント制御モデルに誤差があっても①～④が保証されること...

安定であるとは

フィードバック制御系の安定性の良し悪しは、一巡周波数伝達関数 $L(j\omega) = P(j\omega)C(j\omega)$ の位相余裕、ゲイン余裕で定量的に評価される。定性的には、位相余裕に関しては $\angle L(j\omega_{gc}) > -180^\circ$ となること、ゲイン余裕に関しては $|L(j\omega_{gc})| < 1$ となることである。

制御工学Ⅱのまとめ

- 到達目標:
 - 1) 周波数応答法の理解。
 - 2) フィードバック制御系の安定判別ができる。
 - 3) フィードバック補償により制御系の設計ができる
- 工学にとって重要なダイナミクスの周波数表現について学習し、周波数空間でダイナミクスの応答を考えた。
- 対数表現された周波数空間を用いるボード線図を利用して制御特性を把握できるようになった。
- フィードバック制御系をより深く学び、開ループ特性を用いたナイキストの安定判別やボード線図による安定判別を学習し、安定に関する理解を深めた。
- 以上の知識を用いたループ整形法によって、望ましい制御系の設計について、具体的な設計仕様を設定して制御器を実現する手法について学習した。